

УДК 621.315.592

© 1991

ВЛИЯНИЕ ЗАРЯДА ГЛУБОКОГО ЦЕНТРА НА ОПТИЧЕСКИЕ ПЕРЕХОДЫ В ВАЛЕНТНУЮ ЗОНУ II. СРАВНЕНИЕ С ЭКСПЕРИМЕНТОМ

A. A. Пахомов, A. F. Полупанов, B. I. Галиев, Э. З. Имамов

Исследовано влияние зарядового состояния глубокого примесного центра и электрон-фононного взаимодействия на спектральную и температурную зависимости сечения фотоионизации дефекта. Показано, что учет совместного влияния этих двух факторов позволяет объяснить наблюдаемый длинноволновый край примесного поглощения без привлечения эмпирических формул типа правила Урбаха.

В работе [1] было показано, что влияние зарядового состояния дефекта на спектральную зависимость его сечения фотоионизации при переходах в сложную валентную зону кубических полупроводников может быть учтено с помощью умножения парциальных сечений фотопереводов в подзоны тяжелых и легких дырок $\sigma_{ih}^0(\varepsilon)$, $\sigma_{il}^0(\varepsilon)$, вычисленных без учета заряда центра, на соответствующие обобщенные факторы Зоммерфельда $S_i^h(\varepsilon)$ и $S_i^l(\varepsilon)$

$$\sigma_i^0(\varepsilon) = S_i^l(\varepsilon) \sigma_{il}^0(\varepsilon) + S_i^h(\varepsilon) \sigma_{ih}^0(\varepsilon), \quad (1)$$

где $\varepsilon = \hbar\omega - \varepsilon_V$ — надпороговая энергия фотовозбужденного носителя; ε_V — энергетическое расстояние от примесного уровня до потолка валентной зоны; факторы S_i^h , S_i^l описывают изменение относительных долей тяжелых и легких дырок, рождающихся при фотоионизации, за счет кулоновского поля центра; индекс « i » характеризует симметрию центра.

Важно отметить, что факторы Зоммерфельда зависят от симметрии волновой функции локализованного состояния носителя, кинетической энергии вылетающего носителя и параметров зонной структуры, но не зависят от химической природы дефекта и в этом смысле универсальны. Эти факторы Зоммерфельда, определяющиеся видом кулоновских волновых функций сплошного спектра валентной зоны вблизи дефекта, и были вычислены в [1] для примесных центров различной симметрии и различного зарядового состояния в Ge и GaAs.

В работе [1] отмечалось, что на форму края примесного поглощения глубоких центров оказывает значительное влияние не только зарядовое состояние центра, но и электрон-фононное взаимодействие и для детального сравнения с экспериментом и объяснения экспериментальных данных необходим одновременный учет обоих этих факторов. Именно этому и посвящена настоящая работа.

В простейшем одномодовом приближении влияние электрон-фононного взаимодействия на край примесного поглощения можно учесть, воспользовавшись формулой типа Ридли [2] (по поводу отличия выражения (2) от формулы Ридли см. [3]).

$$\sigma_{ph}(\hbar\Omega) = \sum_{p=-\infty}^{+\infty} W_p(S, \hbar\omega/kT) \sigma_i(n\Omega - p\hbar\omega). \quad (2)$$

Здесь $\hbar\Omega$ — энергия фотона; $\hbar\omega$ — энергия фонона; $\sigma_{ph}(\hbar\Omega)$, $\sigma_i(\hbar\Omega)$ — спектральные зависимости сечений фотоионизации при наличии и в отсутствие электрон-фононного взаимодействия ($S=0$) соответственно (предполагается, что $\sigma_i(\hbar\Omega)=0$ при $\hbar\omega < \epsilon_{TV}$; ϵ_{TV} — термическая энергия ионизации уровня). Вероятность испускания ($p > 0$) или поглощения ($p < 0$) $|p|$ фононов в рамках одномодовой модели Хуанга—Рис [4] дается соотношением

$$W_p(S, \frac{\hbar\omega}{kT}) = \exp \left\{ -2S \left(n_\omega + \frac{1}{2} \right) + p \frac{\hbar\omega}{kT} \right\} I_p(2S \sqrt{n_\omega(n_\omega + 1)}), \quad (3)$$

S — фактор Хуанга—Рис, характеризующий силу электрон-фононного взаимодействия; $n_\omega(\hbar\omega/kT)$ — функция Бозе—Эйнштейна

$$n_\omega = [\exp(\hbar\omega/kT) - 1]^{-1}, \quad (4)$$

$I_p(x)$ — модифицированная функция Бесселя [5].

В работе Годика, Кузнецова и Синиса [6] исследовалась спектральная зависимость примесной фотопроводимости германия, легированного ртутью. На рис. 1, 2 представлены измеренные в [6] спектральные зависимости фотопроводимости, связанные с выбросом дырки с отрицательно заряженного центра Hg^- ($\epsilon_{TV}=0.23$ эВ), при различных температурах.

Поскольку состояние Hg^- является акцепторным, а соответствующий уровень приближен к потолку валентной зоны, разумно предположить, что уровню Hg^- соответствует симметрия Γ_8 .

Примесный центр Hg^- , выбросив дырку, превращается в двукратно заряженный притягивающий дырку центр Hg^{2-} . Тогда сечение фотоионизации центра можно представить в виде

$$\sigma_s^e(\hbar\Omega) = S_{8^-}^{\hbar\Omega} \left[\frac{\hbar\Omega - \epsilon_T}{\epsilon_{\delta h}} \right] \sigma_{8h}^0(\hbar\Omega) + S_{8^-}^{l\hbar\Omega} \left[\frac{\hbar\Omega - \epsilon_T}{\epsilon_{\delta h}} \right] \sigma_{8l}^0(\hbar\Omega). \quad (5)$$

Здесь $\epsilon_{\delta h}$ — «тяжелодырочный» ридберг; $\epsilon_{\delta h} = m_h Z^2 e^4 / (2x_0^2 \hbar^2)$; x_0 — статическая диэлектрическая проницаемость; Z — заряд дефекта после фотоионизации; $\sigma_{8\eta}^0$ — парциальное сечение, соответствующее нейтральному фотовозбужденному центру с той же энергией ионизации, что и Hg^-

$$\sigma_{8\eta}^0 = \sigma_8^0(\hbar\Omega) F_\eta(\hbar\Omega),$$

где

$$\sigma_8^0(\hbar\Omega) = \frac{16\pi}{3} b_V^\Gamma (e^2 \hbar / n_0 m_h c) \sqrt{\epsilon_T} (\hbar\Omega - \epsilon_T)^{1/2} (\hbar\Omega)^{-3},$$

$$F_h = 1 + (3/8)(m_h/m_l - 1)^2 (\hbar\Omega)^2 (\epsilon_T + (\hbar\Omega - \epsilon_T) m_l/m_h)^{-2},$$

$$F_l = (m_l/m_h)^{1/2} \{ 1 + (3/8)(1 - m_l/m_h)^2 (\hbar\Omega)^2 (\epsilon_T + (\hbar\Omega - \epsilon_T) m_l/m_h)^{-2} \}, \quad (6)$$

$\epsilon_T \equiv \epsilon_{TV}$; m_h , m_l — эффективные массы тяжелых и легких дырок; n_0 — показатель преломления; множитель

$$b_V^\Gamma = \frac{(B_\Gamma^+)^2}{16\pi} \left(\frac{2m_h}{\hbar^2} \right)^{1/2} \epsilon_V^{-1/2},$$

где константа B_Γ^+ характеризует вклад зонных состояний в окрестности точки Г зоны Бриллюэна в волновую функцию локализованного носителя [7] и может быть оценена в рамках приближения сильной связи. Вывод формул (6) приведен в Приложении. Поскольку при малых надпороговых энергиях кванта $\epsilon \equiv \hbar\Omega - \epsilon_T$ имеют место зависимости вида $S_{8^-}^{\hbar\Omega} \sim \epsilon^{-1/2}$, $\sigma_8^0(\epsilon) \sim \epsilon^{1/2}$, сечение фотоионизации притягивающего центра имеет в отсутствие электрон-фононного взаимодействия резкую красную границу (рис. 1). Общая форма полосы примесного поглощения аналогична полосе поглощения при фотоионизации мелкого акцептора [8]. На рис. 1, 2 представлены зависимости $\sigma_{ph}^e(\hbar\Omega)$, рассчитанные по формулам (2) — (6)

с одновременным учетом притягивающего кулоновского потенциала дефекта [1] и электрон-фононного взаимодействия для фактора Хуанга—Рис $S=2$ и энергии кванта локальных колебаний $\hbar\omega = 14, 18$ мэВ при $T = 98, 186$ и 290 К. Для сравнения на рис. 1 приведена зависимость $\sigma_{ph}^0(\hbar\Omega)$, рассчитанная без учета влияния заряда центра. Из этого рисунка видно, что удовлетворительного согласия с экспериментом как по частотной, так и по температурной зависимости можно добиться лишь при одновременном учете и заряда глубокого центра, и электрон-фононного взаимодействия. Отметим, что отклонение рассчитанной кривой от эксперимен-

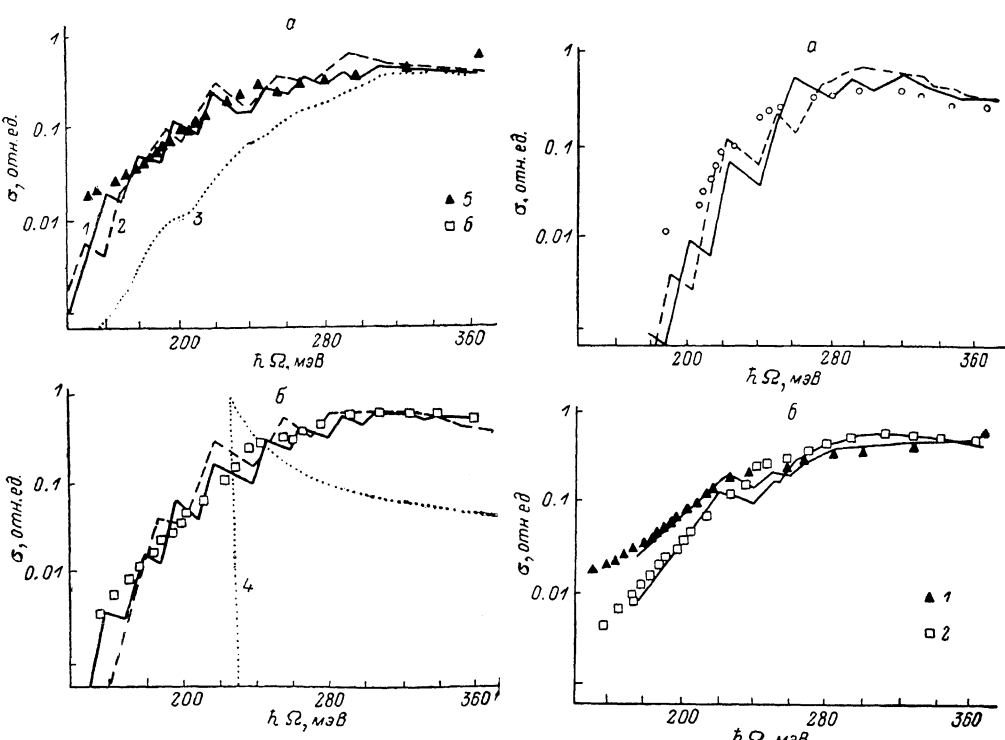


Рис. 1. Сравнение расчета (1—4) с экспериментом [6] (5, 6) по фотоионизации уровня Hg^+ в Ge. $T=290$ (а) и 186 К (б). $\epsilon_{TV}=230$ мэВ.

1 — $S=2, \hbar\omega=18$ мэВ; 2 — $S=2, \hbar\omega=14$ мэВ; 3 — сечение, рассчитанное без учета заряда центра, но с учетом электрон-фононного взаимодействия; 4 — сечение, рассчитанное с учетом заряда центра, но без учета электрон-фононного взаимодействия.

Рис. 2. Сравнение расчета с экспериментом [6] (а) и результаты усреднения в интервале энергий фононов $\hbar\omega=14\div20$ мэВ (б).

а: $T=290$ К, $S=2, \hbar\omega=18$ (сплошная линия) и 14 мэВ (штриховая); б: сплошные линии — теория, точки — эксперимент. 1 — $T=290$, 2 — 186 К.

тальной в длинноволновой области спектра (рис. 2, а) вероятнее всего связано с вкладом в сечение от фотоионизации недокомпенсированных центров Hg^0 [6].

Обсудим теперь «пилообразный» характер рассчитанной спектральной зависимости $\sigma_{ph}^0(\hbar\Omega)$. Такой характер спектральной зависимости связан со спецификой одномодовой модели Хуанга—Рис, использованной для описания локальных колебаний дефекта, в которой частоты колебаний в состояниях 1 и 2, отвечающих заполненному и «пустому» состояниям центра, одинаковы. Рассмотрим в качестве примера «бесфононные» оптические переходы, т. е. переходы, при которых колебательные квантовые числа дефекта в состояниях 1 и 2 не изменяются [9]. В случае модели Хуанга—Рис ($\omega_1=\omega_2$) всем таким переходам вне зависимости от значения начального колебательного квантового числа соответствует одно и то же значение энергии поглощаемого фотона (при фиксированном значении ϵ кинетической энергии вылетающего носителя). Если же частоты колебаний

в состояниях 1 и 2 различны ($\omega_1 \neq \omega_2$), что, вообще говоря, естественно для состояния Γ_{8t} , то бесфононная линия распадается на множество компонент, сдвинутых относительно друг друга на энергию $\hbar\omega_1 - \hbar\omega_2$. Качественно такая же картина имеет место и для одно-, двух- и т. д. фононных переходов. Даже при незначительной ($\sim 10\%$) разности частот колебаний этот эффект способен привести к значительному сглаживанию зубцов «пилы».

Другой эффект, приводящий к сглаживанию «пилы», состоит в том, что использованное при сопоставлении с экспериментом значение энергии кванта локальных колебаний $\hbar\omega = 15 \div 20$ мэВ соответствует локальному колебательному уровню, лежащему на фоне сплошного спектра колебаний кристалла (акустические ветви). В результате взаимодействия локального и решеточного колебаний колебательный уровень приобретает конечную ширину Γ , время $\tau_E = \hbar/\Gamma$ характеризует скорость раз渲а локальных колебаний на решеточные.

В довольно грубом приближении эти эффекты можно учесть, усреднив кривые на рис. 1, 2, а при нескольких близких значениях энергии кванта локальных колебаний. Результат такого усреднения приведен на рис. 2, б. Видно, что это усреднение позволяет значительно улучшить согласие теории с экспериментом. Отметим, что на усредненных кривых сохраняется особенность, соответствующая бесфононному переходу, что качественно согласуется с экспериментальными данными. Представляют интерес более подробные измерения спектральных зависимостей сечения фотопионизации в спектральной области, соответствующей бесфононному переходу, которые позволили бы дать дополнительную информацию об адиабатических колебательных потенциалах дефекта [9].

Для описания длинноволнового хвоста примесного поглощения в литературе (в частности, и в работе [6]) широко используется эмпирическое правило Урбаха [10]

$$\sigma = \sigma_0 \exp \left\{ \frac{-(\epsilon_T - \hbar\Omega) \alpha}{kT} \right\},$$

где α — некоторая константа. С тех пор, когда было предложено это правило, предпринят целый ряд попыток его теоретического обоснования (см., например, [11, 12]). Проведенное в данной работе рассмотрение показывает, что спектральную зависимость сечения фотопионизации глубоких центров в достаточно широком спектральном диапазоне, включая длинноволновый край, можно объяснить без привлечения этого правила, аккуратно учитывая совместное влияние зарядового состояния дефекта и электрон-фононного взаимодействия.

Отметим в заключение, что появившиеся в последнее время подходы к вычислению сечений фотопионизации дефектов в полупроводниках, основанные на кластерных методах расчета [13], не пригодны для описания интересной с экспериментальной точки зрения спектральной области вблизи края примесного поглощения. Это связано, в частности, с дальнодействующим характером кулоновского потенциала заряженного дефекта, учет которого в рамках кластерных методов связан с очень большими вычислительными трудностями. Кроме того, при малых энергиях де-бройлевская длина волн фотовоизбужденного носителя может превышать размер кластера. Наш же гораздо более простой подход, использующий лишь небольшой набор параметров дефекта, позволяет хорошо описывать именно эту спектральную область.

ПРИЛОЖЕНИЕ

В данном Приложении мы ограничимся случаем малых надпороговых энергий фотона ($\hbar\Omega - \epsilon_T \ll \Delta$, где Δ — величина спин-орбитального расщепления валентных зон), когда можно пренебречь вкладом спин-орбитально отщепленной зоны как в волновую функцию локализованного со-

стояния, так и в волновые функции валентной зоны. Выражение для сечения фотоионизации уровня Γ_{8t} с вылетом дырки в подзону η ($\eta = l, h$) можно представить в виде

$$\sigma_{8\eta}^0(\hbar\Omega) = \frac{(2\pi e)^2}{gn_0Qc} \sum_{m, v, k} |\langle \Gamma_{8t}, m | (\nabla_p \hat{\mathcal{H}}, e) | \eta v k \rangle|^2 \delta(\epsilon_T + \epsilon_{\eta v}(k) - \hbar\Omega), \quad (\text{П. 1})$$

где мы выразили оператор дипольного момента через оператор скорости $v = \partial \hat{\mathcal{H}} / \partial p$; $\hat{\mathcal{H}}$ — гамильтониан Латтингдера; $p = \hbar k$ — импульс дырки (здесь мы используем импульсное представление); индекс $m = \pm 3/2, \pm 1/2$ нумерует волновые функции четырехкратно вырожденного состояния Γ_{8t} , преобразующиеся как компоненты спинора ($J = 3/2$); индекс v характеризует спиральность, соответствующую данному значению η ; $g=4$ — кратность вырождения уровня Γ_{8t} ; n_0 — показатель преломления; e — единичный вектор поляризации излучения. Используя явные выражения для волновой функции состояния Γ_{8t} [7], приходим к соотношению

$$\sum_m |\langle \Gamma_{8t}, m | (\nabla_p \hat{\mathcal{H}}, e) | \eta v k \rangle|^2 = \frac{(B_\Gamma^+)^2}{V} \sum_{v' \eta'} |\langle \eta' v' k | (\partial \hat{\mathcal{H}} / \partial p, e) | \eta v k \rangle|^2 \times \times (\epsilon_T + \epsilon_{\eta' v'}(k))^{-2}, \quad (\text{П. 2})$$

где суммирование проводится по всем подзонам валентной зоны, V — нормировочный объем. Вычисление межзонного матричного элемента $\langle \eta' v' k | (\nabla_p \hat{\mathcal{H}}, e) | \eta v k \rangle$ удобно проводить в системе координат, в которой ось квантования z направлена вдоль вектора поляризации излучения e . Тогда, используя сферический гамильтониан Латтингдера [1], имеем

$$\left\langle \eta' v' k \left| \frac{\partial \hat{\mathcal{H}}}{\partial p_\pm} \right| \eta v k \right\rangle = \frac{\hbar k}{m_0} \left\{ \left(\gamma_1 + \frac{5}{2} \gamma \right) Y_{10}(k/k) \delta_{vv} - \sqrt{15} (-1)^{v_2-v'} \gamma (v+v') \times \times \sum_{\alpha=\pm 1} \begin{bmatrix} 3/2 & 1 & 3/2 \\ -v' & \alpha & v \end{bmatrix} Y_{1\alpha}(k/k) \right\}, \quad (\text{П. 3})$$

где $\gamma = (3\gamma_3 + 2\gamma_2)/5$, $\gamma_1, \gamma_2, \gamma_3$ — параметры Латтингдера валентной зоны; таблица в круглых скобках — $3j$ -символ Вигнера. Подставляя (П.3) в (П.2) и (П.1), приходим к формулам (6).

Список литература

- [1] Галиев В. И., Пахомов А. А., Полупанов А. Ф. // ФТТ. 1989. Т. 31. № 11. С. 182—192.
- [2] Ridley B. K. // J. Phys. C. 1980. V. 13. P. 2015—2026.
- [3] Пахомов А. А. // Автореф. канд. дис. Л., ФТИ, 1989.
- [4] Huang K., Phys. A. // Proc. Roy. Soc. A. 1950. V. 204. P. 406—423.
- [5] Корн Г., Корн Т. Справочник по математике. М.: Наука, 1978. 832 с.
- [6] Годик Э. Э., Кузнецова А. И., Синис В. П. // ФТП. 1981. Т. 15. № 9. С. 1787—1794.
- [7] Имамов Э. З., Пахомов А. А., Яссиевич И. Н. // ЖЭТФ. 1987. Т. 93. № 4 (10). С. 1410—1418.
- [8] Коган Ш. М., Полупанов А. Ф. // ЖЭТФ. 1981. Т. 80. № 1. С. 394—412.
- [9] Ребане К. К. Элементарная теория колебательной структуры спектров примесных центров кристаллов. М.: Наука, 1968. 232 с.
- [10] Urbach F. // Phys. Rev. 1953. V. 92. P. 1324.
- [11] Гельмонт Б. Л., Перель В. И., Яссиевич И. Н. // ФТТ. 1983. Т. 25. № 3. С. 727—773.
- [12] Иоселевич А. С. // ЖЭТФ. 1981. Т. 81. № 4(10). С. 1508—1520.
- [13] Lanno M. // 19th Int. Conf. on the Physics of Semiconductors Warsaw, Poland (August, 15—19), 1988. V. 2. P. 951—958.